

## Hybrid I形ばりの弾塑性解析

九州大学 正員 山崎徳也

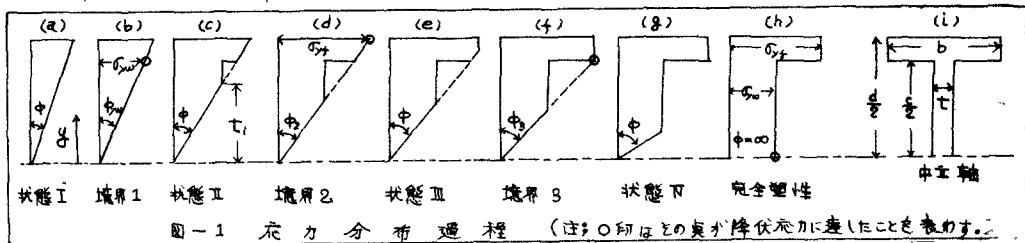
〃 学生員 太田俊昭

〃 学生員 ○片山忠

1. 諸君 Hybrid I形ばりは、材料の経済性を考慮して cost 高の High-Tension Steel を曲げモーメントに最も大きく抵抗するフランジ部分に用い、ウェップには Low-Tension Steel を用いることにより、効率を高める一種の混成梁である。本論文は、Hybrid I形ばりについて、弾塑性解析を試み、もってその力学的特性を、全断面が Low-Tension Steel の普通工形ばりのそれと比較検討したものである。

解法骨子は、さきに著者らが提示した奥用補正エネルギー法をそのまま適用した。一般に Hybrid I形ばりの特性は、フランジとウェップの降伏応力の比によって著しく異なるので、本論文では後述のごとく三種類の M-I 中近似直線を導入し、それらの場合のたわみを算定して、厳密解および塑性設計法による数値と比較し、精度の吟味を行った。

### 2. 曲げモーメントと曲率の関係



塑性解析の慣用仮定にしたがって、歓喜曲げモーメントを受けて弾性状態より弾塑性状態を経て、塑性状態に至るまでの Hybrid I形ばりの断面に生じる表力分布過程を示せば図-1のごとくなる。これらの各状態における曲げモーメントと曲率の関係はそれを次のごとく求められる。すなわち図-1(a)の弾性状態においては周知のごとく Hooke の法則より次式となる。

$$M = EI\phi \quad \cdots \cdots (1)$$

次に図-1(c), (e) および(g) に示す弾塑性状態Ⅰ, Ⅱ およびⅢ における M-I 中央式は、それらを次のごとく求められる。

状態Ⅰ(図-1(c) 参照); いまウェップの一次モーメントおよびフランジのニセモーメントをそれぞれ  $\Sigma_w$ ,  $I_f$ , また断面寸法を図-1(l)のごとく示せば、M-I 中央式は次のごとくえられる。

$$M = 2 \int_{-\frac{t}{2}}^{\frac{t}{2}} \sigma_y y dA + 2 \int_0^{\frac{t}{2}} \sigma_{yw} y dA - 2 \int_0^{\frac{t}{2}} (\sigma_{yw} - \sigma) y dA \quad \cdots \cdots (2)$$

ただし  $\sigma_{yw}$ : ウェップの降伏応力

応力と曲率の関係は  $\sigma = E\phi y$  であり、また図-1(c)より  $t_f \sigma_{yw} / EI$  となるゆえ、これらの関係を式(2)に代入して

$$M = 2EI\phi \int_{-\frac{t}{2}}^{\frac{t}{2}} y^2 dA + 2 \sigma_{yw} \int_0^{\frac{t}{2}} y dA - 2 \sigma_{yw} \int_0^{\frac{t}{2}} (1 - \frac{y}{t_f}) y dA$$

さらに上式を整理して次式をうる。

$$M = EI_f \phi + \sigma_{yw} \Sigma_w - \sigma_{yw}^3 t / 3E^2 \phi^2 \quad \cdots \cdots (3)$$

状態Ⅱ(図-1(e) 参照); 状態Ⅰの場合と同様の手法を用ひれば所要の M-I 中央式は次のごとくなる。

$$M = \Sigma_f \sigma_f + \Sigma_w \cdot \sigma_{yw} - (\sigma_{yw}^3 \cdot t + \sigma_f^3 \cdot b) / 3E^2 \phi^2 + b c^2 / 12 \times (3\sigma_f - C E \phi) \quad \cdots \cdots (4)$$

ただし、 $\sigma_y f$ : フランジの降伏応力、 $Z_f$ : フランジの一次モーメント  
状態Ⅳ(図-1(b)参照); 状態Ⅱと全く同様な考察を行えば、結局M-中歟係数は次式で表わされる。

$$M = \sigma_y f \cdot Z_f + \sigma_{yw} \cdot Z_w - \sigma_{yw}^3 t / 3 E^2 \phi^2 \quad \text{----- (5)}$$

また、完全塑性モーメント $M_p$ は、式(5)において $\phi \rightarrow 0$ とすれば、次式で与えられる。

$$M_p = \sigma_y f \cdot Z_f + \sigma_{yw} \cdot Z_w \quad \text{----- (6)}$$

次に図-1(b)の境界1に示すモーメント $M_{yw}$ は、式(4)にありて $\phi = \sigma_{yw}$ とあれば次のとく表わされる。

$$M_{yw} = EI \phi_{yw} = \sigma_{yw} \cdot S \quad \text{ただし、} \sigma_{yw}: \text{境界1の曲率, } S = I / \frac{c}{2} \quad \text{----- (7)}$$

フランジとウェップの降伏応力の比 $\sigma_y f / \sigma_{yw}$ をRで表し、これを降伏比と呼ぶことにする。

さて、以後の解析を容易なうじめるために式(1), (3), (4), (5), (6) のM-中歟係数を式(7)の $M_{yw}$ で除して無次元化すれば、それを次式をうる。

$$\text{状態I: } m = \phi \quad \text{----- (8)}$$

$$\text{状態II: } m = \frac{Z_w}{S} + \frac{I_f}{I} \phi - \frac{Z_w}{3S} \cdot \frac{1}{\phi^2} \quad \text{----- (9)}$$

$$\text{状態III: } m = \frac{Z_w + Z_f R + Z_a R}{S} - \frac{2Z_a}{3S} \phi - \frac{Z_w + Z_a R^3}{3S} \cdot \frac{1}{\phi^2} \quad \text{----- (10)}$$

$$\text{状態IV: } m = \frac{Z_w + Z_f R}{S} - \frac{Z_w}{3S} \cdot \frac{1}{\phi^2} \quad \text{----- (11)}$$

$$\text{完全塑性モーメント: } m_p = \frac{Z_w + Z_f R}{S} \quad \text{ただし, } M = M/M_{yw}, \phi = \phi/\phi_{yw}, Z_a = b c^2 / 4 \quad \text{----- (12)}$$

(1)ま、断面諸量を $d=30\text{cm}$ ,  $b=15\text{cm}$ ,  $c=27.4\text{cm}$ ,  $t=0.8\text{cm}$ とし、 $R$ が1.5, 2.0 および3.0 の各場合に応じて式(8)～(12)より $m-\phi$ 図を描ければ図-2のとくになる。

3.  $m-\phi$ 近似直線 文献(1)の手法に準じて、近似直線の勾配を規制する $K'_1$ をエネルギー等置の条件より算定する。すなゆう、図-3にありて $m-\phi$ 曲線における面積ABERGCDAと近似直線による面積ABCDAを等置して、近似直線BC(オーバー近似直線と名づける)の勾配 $1/K'_1$ を決定すれば次値をうる。

$$K'_1 = \frac{\frac{1}{2} - \frac{Z_f R}{S} + \frac{Z_a \cdot R^2}{S}}{\frac{1}{2} (m_p - 1)^2} \left( \frac{d}{c} - 1 \right) \quad \text{----- (13)}$$

一方、図-2より明らかなごとくRが比較的小さい場合は、フランジが降伏を始めるときの境界2のモーメント値 $m_2$ およびこれが降伏し終るとの境界3のモーメント値 $m_3$ までの $m-\phi$ 曲線がほぼ直線変化を示すので、以下に述べる二種類の近似直線を別途導入する。すなゆう図-3においてそれを弾性直線を $m_2, m_3$ まで延長し、それ以後の $m-\phi$ 曲線をそれを直線E'H(オーバー近似直線), F'J(オーバー近似直線)で置換する。それとの近似直線の勾配 $1/K'_2, 1/K'_3$ は同じくエネルギー等置の条件より次のとく値となる。

$$K'_2 - 1 = \frac{\frac{Z_w}{S} - \frac{m_p^2}{2} + \frac{Z_b \cdot R^2}{S} \frac{c}{d} - \frac{Z_a \cdot R^2}{S}}{\frac{1}{2} (m_p - m_2)} \quad \text{----- (14)}$$

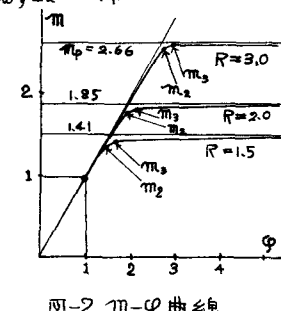


図-2  $m-\phi$ 曲線

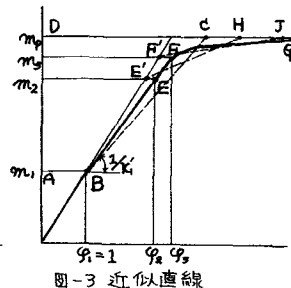


図-3 近似直線

$$K_3' - 1 = \frac{\frac{Z_w}{S} - \frac{m_p^2}{2} + \frac{Z_b \cdot R^2}{S} \frac{c}{d} - \frac{Z_a \cdot R^2}{S}}{\frac{1}{2}(m_p - m_3)} \quad \text{ただし, } Z_b = bd^2/4 \quad \text{---(5)}$$

以上三種類の近似直線の方程式は、それぞれ次式で与えられる。

オ一種近似直線;  $\varphi = (x_1 + 1)m - K_1$ , ただし,  $K_1 = x_1' - 1$

オニ種近似直線;  $\varphi = (x_2 + 1)m - K_2 \cdot m_2$ , ただし,  $K_2 = x_2' - 1$

オミ種近似直線;  $\varphi = (x_3 + 1)m - K_3 \cdot m_3$ , ただし,  $x_3 = x_3' - 1$

4. 計算例. 上記3に於いて求めた三種類の近似直線を用ひて、図-4に示す両端固定Hybrid工形ばりに中央集中荷重Pが作用するとその中央実のたわみを算定し、塑性設計法による解および厳密解と比較する。まずオ一種近似直線によるたわみ  $\delta_{K_1}$  は次のとく求められる。

$$\delta_{K_1} = \left( \phi \frac{\partial M}{\partial P} dx \right) = \phi_{yw} M_{yw} \int (1\varphi_1 \cdot \frac{\partial |M|}{\partial P}) dx = \frac{Myw \cdot l^2}{EI} \int (1\varphi_1 \cdot \frac{\partial |M|}{\partial P}) dx \quad \text{---(17)}$$

前重条件より任意実のモーメントは  $M = \frac{P}{2}x - \frac{P}{8}l$  で与えられる。これを  $M_{yw} = P_y \cdot l / 8$  で除して無次元化すれば次式をうる。

$$\pi = 4P^*X - P^*, \quad \text{ただし, } P^* = P/P_y, X = x/l, P_y: 弹性限界時の前重, \quad \text{---(18)}$$

よって式(17)に式(18)および式(8), (16)を代入のうえ整理すれば次式をうる。

$$\begin{aligned} \delta_{K_1} &= \frac{Myw \cdot l^2}{8EI} \int (1\varphi_1 \cdot \frac{\partial |M|}{\partial P^*}) dx = \frac{Myw \cdot l^2}{8EI} \left[ \int_{E+P} (1\varphi_E \cdot \frac{\partial |M|}{\partial P^*}) + \int_P (1\varphi_P \cdot \frac{\partial |M|}{\partial P^*}) \right] \\ &= \frac{Myw \cdot l^2}{24EI} \left[ P^* + K_1 \cdot P^* \left\{ 1 - \frac{3}{2} \left( \frac{1}{P^*} \right) + \frac{1}{2} \left( \frac{1}{P^*} \right)^2 \right\} \right] \end{aligned} \quad \text{---(19)}$$

ただし、添字 E, P はそれぞれ弾性領域 ( $|M| < 1$ ) および塑性領域 ( $|M| \leq m_p$ ) を表す。

次にオニ種およびオミ種近似直線によるたわみ  $\delta_{K_2}$ ,  $\delta_{K_3}$  を同様の手法によって求めれば、それぞれ次式で与えられる。

$$\delta_{K_2} = \frac{Myw \cdot l^2}{24EI} \left[ P^* + K_2 \cdot P^* \left\{ 1 - \frac{3}{2} \left( \frac{m_2}{P^*} \right) + \frac{1}{2} \left( \frac{m_2}{P^*} \right)^2 \right\} \right] \quad \text{---(20)}$$

$$\delta_{K_3} = \frac{Myw \cdot l^2}{24EI} \left[ P^* + K_3 \cdot P^* \left\{ 1 - \frac{3}{2} \left( \frac{m_3}{P^*} \right) + \frac{1}{2} \left( \frac{m_3}{P^*} \right)^2 \right\} \right] \quad \text{---(21)}$$

ここで降伏比  $R$  を 1.5, 2.0 および 3.0 にとり、式(19), (20) および式(21)によりたわみ  $\delta_{K_1}$ ,  $\delta_{K_2}$ , および  $\delta_{K_3}$  をそれぞれ算定し、その結果を図-5 に示した。ただし、図中の厳密解は、式(17)において  $\varphi$  を  $m - \varphi$  曲線より厳密に求め数値積分したものである。

図-5より、近似直線によるたわみの誤差は、崩壊荷重時にありてたしかだ 1% であり塑性設計法による誤差が 7 ~ 10% に達するのに比べて極めて精度の高い実用解と云える。

一方、中央前重値に対する本法のたわみの誤

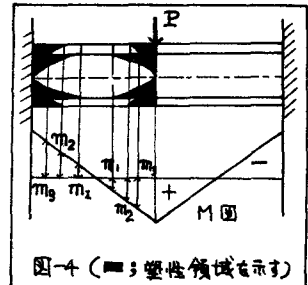


図-4 (■: 塑性領域を示す)

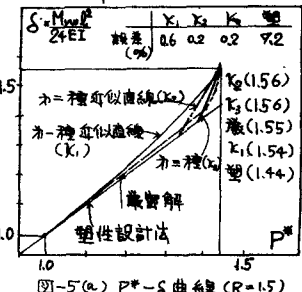


図-5(a)  $P^* - \delta$  曲線 ( $R=1.5$ )

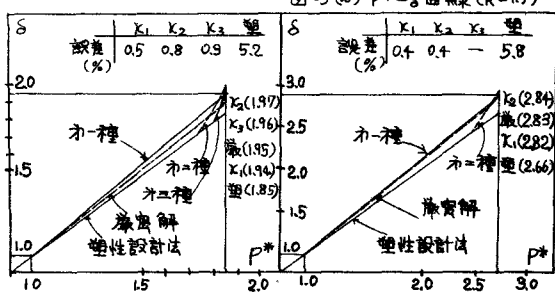


図-5(b)  $P^* - \delta$  曲線 ( $R=2.0$ )

図-5(c)  $P^* - \delta$  曲線 ( $R=3.0$ )

差は、崩壊荷重時のそれに比べてかなり大きく、また尺によりかなり左右されるが、Rが1~2の範囲でオーナー種あるいはオーナー種近似直線を、Rが2より大きい場合にはオーナー種近似直線をそれと用ひれば、誤差をさすのも2~3%以内にとどめうることが種々の計算より判明した。

5. Hybrid I形ばかりの特性について 降伏比尺と降伏荷重および降伏荷重時のたわみ、あるいは尺と崩壊荷重および崩壊荷重時のたわみの関係をそれと前記の例についてオーナー種近似直線を用いて考察し、全断面が等しく降伏応力  $\sigma_y$  の鋼材よりなる普通工形ばかりと比較吟味した。すなはち Hybrid I形ばかり、普通工形ばかりの荷重値などをためをそれぞれ  $P_y$  および  $\dot{P}_y$  で区別し、さらには両者の荷重およびたわみの比を  $R = P_y / \dot{P}_y$  および  $\delta_y = \delta_y / \dot{\delta}_y$  とおけば、それと次の式ととき関係式が成立する。

まず降伏荷重  $P_y$ 、崩壊荷重  $\dot{P}_y$  についてはそれと次式となる。

$$P_y = 8M_{yw}/l, \dot{P}_y = 8M_{wf}/l \quad \therefore R_y = P_y / \dot{P}_y = d/c \quad \dots \dots \dots (22)$$

$$P_p = P_y \cdot P^* = \frac{8\sigma_{yw}}{l} (\bar{Z}_w + R \bar{Z}_f), \dot{P}_p = \dot{P}_y \cdot \dot{P}^* = \frac{8\sigma_{yw}}{l} \cdot Z \quad \therefore R_p = Z_w/Z + Z_f \cdot R / Z \quad \dots \dots \dots (23)$$

ただし、 $P^* = m_p$ 、 $\dot{P}^* = \dot{m}_p$  はそれと Hybrid I形ばかりおよび普通工形ばかりの無次元化した完全塑性モーメント、 $M_{wf}$  は普通工形ばかりの降伏モーメント、また  $Z$  は断面一次モーメントである。次に降伏荷重時のたわみ  $\delta_y$  は弾性計算より次のとくとなる。

$$\delta_y = M_{yw} \cdot l^2 / 24EI, \dot{\delta}_y = M_{wf} \cdot l^2 / 24EI \quad \therefore \bar{\delta}_y = \delta_y / \dot{\delta}_y = d/c \quad \dots \dots \dots (24)$$

さらにも崩壊荷重時のたわみ  $\delta_p$  は式(19)において  $P^* = m_p$  とおけば次式となる。

$$\bar{\delta}_p = \frac{\delta_p}{\dot{\delta}_p} = \frac{d}{c} \left[ m_p + K_1 \cdot m_p \left\{ 1 - \frac{3}{2} \left( \frac{l}{m_p} \right)^2 + \frac{1}{2} \left( \frac{l}{m_p} \right)^3 \right\} \right] / \left[ \dot{m}_p + K_1 \cdot \dot{m}_p \left\{ 1 - \frac{3}{2} \left( \frac{l}{m_p} \right)^2 + \frac{1}{2} \left( \frac{l}{m_p} \right)^3 \right\} \right] \quad \dots \dots \dots (25)$$

ただし、 $(K_1 + 1)$ ；普通工形ばかりのオーナー種近似直線の勾配

以上の諸式を図示すれば図-6のごとくなる。さて図-6の結果を前記図-2の  $m-\varphi$  曲線および図-5の  $P^*-S$  曲線と総合して論ずれば、結局、以下の諸質を Hybrid I形ばかりの特徴としてあげることができる。

i)  $m-\varphi$  曲線より分るごとく Hybrid I形ばかりは、ウェップ降伏後も彈性的挙動を示し、フランジ外縁の降伏とともに曲げ剛性を失い塑性特性を顕著に表し、フランジが降伏し終るとともに急速に完全塑性状態に移行する。この傾向は尺値が大きくなるとよきくなる。

ii) たわみはフランジの降伏が終るまで、ほぼ直線変化をするがそれ以後急増し、R値が大きいほどその直線変化的範囲は拡大し、相対的にフランジ降伏終了以後のたわみの増分は減少する。

iii) 図-6より降伏時の  $R_y$  は、リブれもRがより小さな部分を除けば殆どとなり、Rの変化に無関係であるに対し、崩壊時の  $R_p$  は两者ともRにほぼ直線的に比例して増大する。

6. 結語 本論文は Hybrid I形ばかりの弾塑性解析を行い、その特性を理論的考察したもので、5.で指摘したごとく、Hybrid I形ばかりはR値の増加とともに彈性的特性を著しく増大する。しかし、ウェップの常時降伏に伴う、高応力疲労や局部座屈などの諸現象が大きな肉眼として介在するゆえ、必ずしも塑性設計はRの大きな Hybrid I形ばかりの解析に最適であると判断することは極めて危険と云える。

本研究は文部省科学研究所の補助を受けた、記して謝意を表する。

参考文献 (1) 山崎太田・石川洋輔正子「I形による直線柱の弾塑性解析」、土木学会論文集第134号、1966.10

(2) R.W.Frost & C.G.Schelling; Behavior of Hybrid Beam subjected to statical load, Proceedings of A.S.C.E., vol.90, N.O.3, 1964